

مقایسه آماری عمر خستگی فولاد Ck45 آهنگری شده در شرایط نرمالة، کوتنج و تیپر شده با شرایط کوتنج و تیپر شده*

چواه بارازان^(۱)حسین حیدری^(۲)احمد خاطب^(۳)

چکیده

در فرآیند تولید، نرمالة کردن معمولاً پس از عملیات آهنگری و قبل از عملیات کوتنج و تیپر بر روی قطعات منتهی انجام می‌شود. این عملیات مرجوب پسکوتنج و ریز شدن بزیرسانختران می‌گردد. با توجه به تأثیر کم عملیات نرمالة بر خواص مکانیکیک فولاد Ck45 آهنگری، کوتنج و تیپر شده و ضرورت کاهش هزینه‌های تولید، حلول این عملیات پس از آهنگری مطلوب به نظر مرسن ساخت نایاب می‌رسد. همچنان که در مقاله‌های از معاون و آزمایشگاهی، تأثیر سیار کم عملیات نرمالة را بر خواص پای شده تأثیری نمایند. لکن خواص خستگی از اهمیت بالایی برخوردار می‌باشد که موضوع اصلی این تحقیق است. عمر خستگی قطعات در حالت آهنگری، کوتنج و تیپر شده و حالت آهنگری، نرمالة، کوتنج و تیپر شده مورد بررسی قرار گرفت. تعداد ۶۷ آزمون میکنگی خستگی دیواری (R=1) در چهار داده تشکیل انجام شد. این آزمایشات در نتشهای متعرض به ۰، ۵۰، ۱۰۰، ۱۵۰، ۲۰۰، ۲۵۰، ۳۰۰ و ۳۵۰ هزار دفعه نمونه‌های نرمالة، کوتنج و تیپر شده در داده نتشهای ۰، ۵۰، ۱۰۰، ۱۵۰، ۲۰۰، ۲۵۰، ۳۰۰ و ۳۵۰ هزار دفعه انجام شدند. میان عمر خستگی مکابسکال به ترتیب برابر با ۲۶۷۱۰، ۱۹۴۰۰، ۱۴۱۰۰ و ۱۰۷۰۰ هزار دفعه میکنگی کوتنج و تیپر شده در نتشهای پای شده به ترتیب برابر با ۲۰۴۰۰، ۱۷۷۰۰، ۱۱۰۰۰ و ۷۰۰۰ هزار دفعه میکنگی بود. مقایسه نتایج در هر داده تشکیل انجام شدند. متوسط عمر پیشتر نمونه‌های نرمالة شده می‌باشد لکن به عکسر تعداد محدود نمونه‌ها در هر سطح نتش آزمون و اریاضی اختلاف معنی‌داری را میان عمر خستگی در دو حالت عملیات حرارتی ثابتی نمی‌نماید. در واقع توان آزمون آماری در تشخیص اختلاف بین متوسط طول عمر کم است. از این‌رو، توصیه می‌کنیم با اریاضیات ساده و توانایی پیش‌نموده نموده و پس از هم‌اوزن تعداد تمام نتایج را در یک آزمون میکنیم با اریاضیات ساده و توانایی پیش‌نموده کردند. توجه آزمون و اریاضی در این حالت حاکم از اختلاف میانگین دو جامعه در سطح معنی دار ۰٪ بوده و متوسط خستگی قطعات نرمالة شده حداقل ۱۸٪ بیشتر از عمر قطعات نرمالة شده تخصیص زده می‌شود.

واژه‌های کلیدی: عمر خستگی، فولاد کمترین آهنگری شده، عملیات نرمالة، بررسی آماری.

Statistical Comparison of Fatigue Lives of Forged Ck45 Steel in Normalized, Quenched and Tempered Condition with Those in Quenched and Tempered Condition

A. Zabett

H. Heidari

J. Baradaran

Abstract

A common process in auto-parts manufacturing consists of forging, normalizing, quenching and tempering. Normalizing treatment is usually employed to improve machinability of steel, and to homogenize and refine the microstructure. For simple parts, production cost would be reduced if normalization stage were eliminated. In this paper, the effect of normalization treatment on fatigue life of a quenched and tempered carbon steel has been studied. Samples were taken from forged, quenched and tempered parts at industrial conditions. Sixty four fatigue specimens were tested using a rotary bending fatigue machine ($R=1$) at four different stress amplitudes between 500 and 600 MPa. Results showed minor effect of normalization on microstructure, hardness and tensile properties. However, specimens normalized after forging indicated improved fatigue life at the same stress amplitude. Average fatigue lives at 508, 516, 534 and 583 MPa were 267000, 194000, 119000 and 54000 cycles respectively for normalized quenched and tempered samples and 209000, 138000, 101000 and 46000 cycles for quenched and tempered samples. Due to variation of fatigue life results, Student's t-test was employed to prove any meaningful difference of fatigue life for specimens with or without normalization treatment. Student's t-test is often used to determine if the averages of two samples are significantly different. The test approved the difference with 95% confidence. Fatigue life of normalized samples was estimated at least 18% higher than the life of samples without normalization.

Key Words Fatigue Life, Heat Treatment, Normalizing and Carbon Steel.

* نسخه نخست مقاله در تاریخ ۱۱/۰۷/۰۷ و نسخه پایانی آن در تاریخ ۱۱/۱۲/۹۱ به دفتر شریده رسیده است.

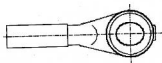
(۱) عهددار مکانیکات: استادیل، گروه مهندسی متالورژی و مواد، دانشکده مهندسی، دانشگاه فردوسی مشهد

(۲) دانشجوی کارشناسی ارشد، گروه مهندسی متالورژی و مواد، دانشکده مهندسی، دانشگاه فردوسی مشهد

(۳) دانشجوی کارشناسی ارشد، گروه مهندسی مواد، دانشکده مهندسی، دانشگاه فردوسی مشهد

مقدمه

قطعه سبیک فرمان بحث خواهد شد.



شکل ۱ تصویر شماتیک سبیک فرمان

بسیاری از محققان اثر ریز ساختار را بر رفتار خستگی فولادهای کم کربن بررسی کرده‌اند [10-15]. توزیع فازهای اصلی تشکیل دهنده تأثیر به سزانی در شروع ترک و اشاعه آن دارد. این موضوع توسط تعدادی از محققان در فولادهای ساده کریستال به خوبی نشان داده شده است [7,8]. شروع ترک در فاز فریت و اشاعه ترجیحی ترک در این فاز تأیید شده است. De Los Rios و همکاران [9] و Zettl و همکاران [10] اثر موروفولوژی فریت بر شروع و اشاعه ترک را بررسی نموده و نشان داده‌اند که شروع ترک در فریت درست در تشاهای کترالنال افتاده و تعداد ترک‌گذارها در فریت درست بیشتر از تعداد ترک‌ها در فریت ریز است.

نشایع آزمایش‌های خستگی معمولاً دارای برآنده‌گی و تغییرات زیادی هستند [11,12]. از این‌رو، کسب اطمینان از اختلاف عمر متوسط قطعات در دو حالت عملیات حرارتی مختلف نیاز به بررسی آماری دارد. در موقعی که نیاز است بین دو جامعه به صورت آماری مقایسه انجام شود و یا این‌که لازم باشد یک فرضیه به صورت آماری موردن امتحان قرار گیرد، بررسی‌ها و نتیجه‌گیری‌های آماری معمولاً منجر به ارائه فرضیه‌های آماری می‌شوند [13]. در مورد درستی پاس نادرستی یک فرضیه آماری هرگز نمی‌توان اظهارنظر قطعنی نمود مگر آن‌که تمام جامعه امتحان شود و این کار معمولاً غیرعملی است، اما می‌توان یک نمونه تصادفی از جامعه را انتخاب نموده و با استفاده از آن درمورد قبول یا رد فرضیه تصمیم گرفت. برای این کار از آزمون فرضیه‌های آماری استفاده می‌شود. در مسئله

در صنعت قطعه سازی، در فرآیند تولید قطعات فولادی آهنگری و عملیات حرارتی شده معمولاً قبل از مرحله کوتوجه و تبهر، عملیات نرمال کردن پس روی قطعات انجام می‌شود. این عملیات بیشتر به مظور ریز و یکتواختت کردن فولاد بعد از آهنگری انجام شود. لیکن در مولاری که قطعه باید ماشین کاری می‌شود، برای کاهش هزینه‌های ماشین کاری و همچنین حلزون‌نشاهی پس ماند و پیش‌گیری از اعوجاج قطعه، عملیات نرمال کردن قبل از کوتوجه و تبهر انجام می‌شود. در قطعاتی که نیاز به ماشین کاری ندارند پا شکل قطعه پیچیدگی زیادی که منجر به اعوجاج با ترک برداشت آن شود نداشته باشد، امکان حذف عملیات نرمال کردن وجود دارد [4]. لکن با توجه به اهمیت اثر یکتواختت ساختار بر خواص دیتابیکی قطعه، اثر عملیات نرمال کردن بر خواص خستگی قطعات مورد سوال است. هدف این تحقیق بررسی امکان حذف مرحله نرمال کردن در فرآیند آهنگری، نرماله، کوتوجه و تبهر قطعات تولید شده از جنس فولاد ساده کریستالی می‌باشد.

قطعه انتخاب شده برای این تحقیق سبیک فرمان از سیستم تعیین خودرو از جنس فولاد Ck45 می‌باشد (شکل ۱). چون این قطعه قبل از کوتوجه و تبهر کردن ماشین کاری نمی‌شود، نرمال کردن ریز ساختار ضروری ندارد. از طرف قطعه دارای شکل پیچیده‌ای نبوده و مشکل اعوجاج و نشاهی پس‌ماند نیز وجود ندارد. لکن در فرآیند معمول تولید قطعه عملیات نرماله پس از آهنگری و قبل از کوتوجه وجود دارد که می‌تواند به مظلوو ریزگردن دانه‌بندی و بهبود خواص مکانیکی بوده باشد. در این تحقیق ضمن بررسی ریز ساختاری و خواص مکانیکی از جمله سختی و خواص کششی، عمر خستگی در نشاهی مختلف تعیین و مورد بررسی قرار گرفته است. با توجه به نتایج بعدست آمده از آزمون خستگی در شرایط مختلف عملیات حرارتی، در خصوص اثر حذف عملیات نرماله از فرآیند تولید

سیس عملیات حرارتی نرماله، آستینیت، کوتنج و تمپر بر روی قطعات الجام می شود. برای انجام آزمایشات تعداد ۱۲۰ نمونه از قطعات آهنگری شده به طور تصادفی انتخاب شدند. ۶۰ نمونه تحت عملیات نرماله فرار گرفتند و ۶۰ نمونه نرماله نشدند. در این مرحله بر روی همگنی ۱۲۰ نمونه طبق روال معمول بقیه فرآیند یعنی عملیات آستینیت، کوتنج و تمپر اعمال شد. عملیات نرماله به مدت ۱۳۰ دقیقه در دمای ۸۹۰ درجه سانتی گراد الجام شد و سیس قطعات در هوای آرام سرد شدند. مرحله آستینیت کردن به مدت ۱۰۰ دقیقه در دمای ۸۹۰ درجه سانتی گراد انجام شد و قطعات در حمام رونغن متلاطم کوتنج شدند. عملیات تمپر در دمای ۵۷۰ درجه سانتی گراد به مدت ۷۵ دقیقه انجام گردید.

قطعات طبق جدول (۲) نام گذاری شده و ساختن

تمام نمونه ها در مقیاس راکوون A اندازه گیری شد. بررسی های ریز ساختاری برای شام مرافق نمونه های جدول (۲) انجام شد. نمونه های آزمون کشش از مفتر قطعات مطابق استاندارد ASTM E8M تهیه شدند و دو نمونه QT و دو نمونه NQT تحت آزمایش کشش قرار گرفتند.

آزمون فرضیه (Hypothesis Testing) معمولاً یک ادعا در قالب فرضیه مخالف و خلاف آن در قالب فرضیه صفر بیان می شود. در صورتی که بر اساس نمونه دلیلی برای رد فرضیه صفر وجود نداشته باشد، آن را پذیرفته و ادعا رد می شود. آزمون فرضیه در موارد مختلفی از جمله مقایسه میانگین دو یا چند جامعه کاربرد دارد. در مقایسه نتایج آزمون خستگی در شرایط مختلف عملیات حرارتی، با توجه به پراکندگی نتایج، می توان از آزمون مقایسه دو جامعه (آزمون t) (Student t-test) استفاده نمود. با استفاده از این روش آماری تشخیص داده می شود که آیا تمام داده ها متعلق به یک جامعه آماری هستند یا این که به دو جامعه آماری با دو میانگین متفاوت تعلق دارند.

روش تحقیق

برای تولید سیک فرمان، قطعاتی به طول ۲۵ میلیمتر از میل گرد فولاد Ck45 با قطر ۲۸ میلیمتر برش زده می شوند. ترکیب شیمیائی فولاد در جدول (۱) آورده شده است. قطعات در یک کوره القابی تا دمای ۱۲۵۰ درجه سانتی گراد پیش گرم شده و در دو مرحله توسط پرس ۱۰۰۰ نن و پرس ۱۶۰۰ نن آهنگری می شوند.

جدول ۱ ترکیب شیمیائی فولاد Ck45

	C	Si	Mn	P	S	Cr	Ni	Mo	عنصر شیمیائی
	۰,۴۶	۰,۲۲	۰,۴۶	۰,۰۰۶	۰,۱۵	۱,۷۵	۰,۱۱	۰,۰۵	درصد و قسم

جدول ۲ نام گذاری نمونه ها

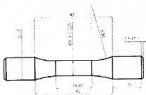
نام	نمونه
AR	نمونه خام
AF	نمونه آهنگری شده قبل از عملیات حرارتی
N	نمونه آهنگری نرمال شده
NQ	نمونه آهنگری، نرماله و کوتنج شده
Q	نمونه آهنگری و کوتنج شده
NQT	نمونه آهنگری، نرماله، کوتنج و تمپر شده
QT	نمونه آهنگری، کوتنج و تمپر شده

نمونه‌های سختی سنجی شده (۹۶ نمونه) آزمون ابرای مقایسه میانگین دو جامعه انجام شد که نتیجه در شکل (۳) و جدول (۴) آورده شده است. اختلاف میانگین این دو جامعه با اطمینان بسیار بالا معادل $1/14$ راکول A تخمین زده می‌شود. نتیجه این آزمون قبول فرضیه اختلاف سختی بین این دو حالت عملیاتی در سطح ۵٪ می‌باشد. هر چند که اختلاف میانگین سختی در روش عملیات حرارتی قطعی است، در عین حال میزان این اختلاف چندان قابل توجه نبوده و از نظر خواص مکانیکی کم اهمیت می‌باشد.

برای هر حالت عملیات حرارتی QT و NQT دو آزمایش کشش انجام شده و متوسط نتایج خواص کششی در جدول (۵) گزارش شده است. خواص کششی نمونه‌ها کاملاً مشابه بوده و نشان می‌دهد عملیات فرماله اثر محسوسی بر خواص کششی نمونه‌های کوتیج و تپیر شده نداشته است.

متالوگرافی نمونه‌های کوتیج شده در حالت‌های Q و NQ حاکی از مقادیر بسیار ناچیز مارتریت در نمونه‌ها می‌باشد که به خاطر ضخامت قطعه و کوتیج در روغن در شرایط صنعتی است. شکل (۴) تصویر متالوگرافی نمونه‌های QT و NQT را در بزرگنمایی یکسان نمایش می‌دهد. این تصویر نشان دهنده ساختار فریت و پرلیتی هر دو نمونه می‌باشد. تفاوت دو ریزساختار در میزان فریت، شکل و نحوه توزیع آن می‌باشد. در نمونه‌های QT به میزان ناچیزی فریت بیشتر و پراکنده‌تر مشاهده می‌شود. که این اختلاف ناچیز با اختلاف سختی مشاهده شده هم خوانی دارد.

نمونه‌ای آزمون سختگی نیز از مفرغ قطعات، طبق نقشه شکل (۲) با ماشین تراشکاری CNC تهیه شدند. نمونه‌های سختگی پس از سباده‌زنی با شماره‌های ۴۰۰، ۶۰۰، ۱۰۰۰ و ۲۵۰۰ با خمیر الماس ۱ میکرون پولیش شدند. پولیش نهائی به مظور بررسی‌های میکروسکوپی سطح نمونه‌ها بعد از آزمون سختگی انجام شد. برای آزمایشات سختگی از دستگاه سختگی خمیشی - دورانی Zwick/Roel مدل UBM200 استفاده شد.



شکل ۲ نمونه شمايك آزمون سختگی

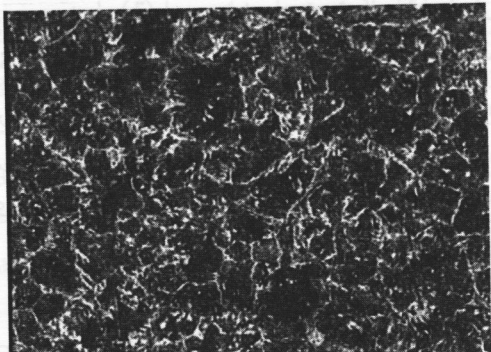
نتایج و بحث

مقادیر سختی پس از هر مرحله عملیات حرارتی در جدول (۳) آورده شده‌اند. سختی سنجی هر قطعه در ۵ نقطه انجام شده است. این نتایج نشان‌دهنده سختی پذیری کم فولاد و عدم مارتریتی شدن کامل نمونه‌ها بعد از کوتیج می‌باشد. اختلاف سختی نمونه‌ها بین حالت‌های Q و NQ و نیز بین حالت‌های QT و NQT بسیار کم می‌باشد. برای مقایسه سختی حالت‌های QT و NQT با توجه به تعداد کافی

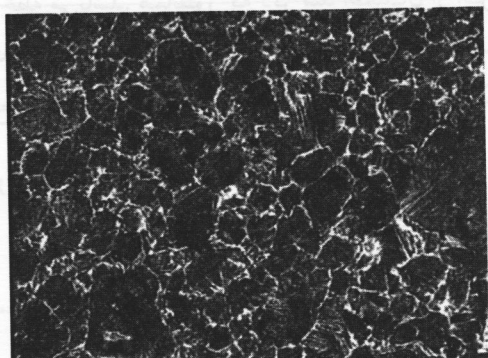
جدول ۳ نتایج سختی سنجی نمونه‌ها پس از هر مرحله عملیات حرارتی

NQT	QT	NQ	Q	N	AF	AR	حالات عملیات حرارتی
۶۱/۴۰	۶۰/۳۱	۶۲/۲۲	۶۲/۴۲	۴۸/۷	۵۸/۶۰	۵۸/۱۰	متسط سختی HRA
۶۰	۶۰	۳	۳	۳	۳	۳	تعداد نمونه

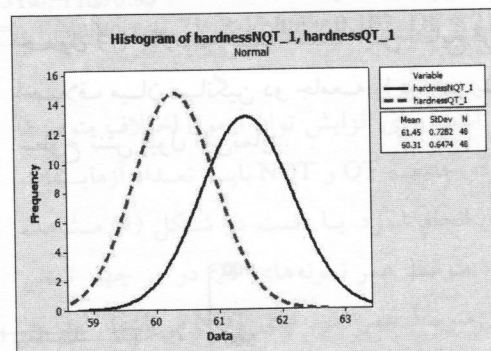
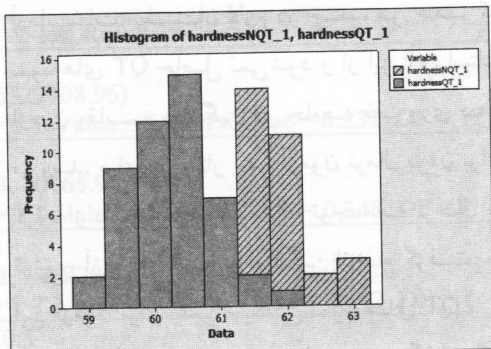
QT



NQT



شکل ۴ تصویر متالوگرافی نمونه های کوئیچ تمپر شده (بالا)، نرماله کوئیچ تمپر شده (پایین).



شکل ۳ هیستوگرام سختی نمونه های QT و NQT

جدول ۴ نتایج آزمون سختی سنجی دو جامعه

Two-Sample T-Test and CI: hardness NQT, hardness QT

	N	Mean	StDev	SE Mean
Hardness NQT	48	61.452	0.728	0.11
Hardness QT	48	60.308	0.647	0.093

Difference = mu (hardnessNQT_1) - mu (hardnessQT_1)

Estimate for difference: 1.14375

95% CI for difference: (0.86445, 1.42305)

T-Test of difference = 0 (vs not =): T-Value = 8.13 P-Value = 0.000 DF = 92

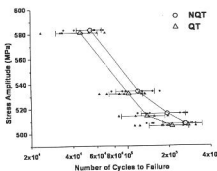
جدول ۵ خواص کششی نمونه ها در شرایط QT و NQT

عملیات حرارتی	نش تسلیم N/mm ²	استحکام کششی N/mm ²	از دیدار طول %
QT	۵۸۱	۸۵۶	۱۷/۲۱
NQT	۵۸۶	۸۴۷	۱۶/۹۵

به خاطر پراکندگی زیاد شتاب و تعداد محدود آزمایشات، اطمینان لازم در خصوص عمر کمتر نمونه‌های QT حاصل نمی‌شود و از این رو، استفاده از آزمون مقایسه میانگین دو جامعه ضروری به نظر می‌رسد. برای این کار ابتدا آزمون نرمال بودن برای هر گروه از داده‌ها انجام شده و با توجه به نرمال بودن توزیع، آزمون مقایسه دو میانگین انجام گرفت. شتاب این آزمون برای عمر خستگی نمونه‌های QT و NQT در تست‌های ۵۳۴، ۵۱۶ و ۵۰۸ مگاپاسکال در جدول (۷) خلاصه شده است. این شتاب فرضیه اختلاف میان میانگین دو جامعه را در هر یک از سطوح تست قبول نمی‌نماید.

نتایج آزمایشات خستگی برای همه حالت‌های آزمایش شده در جدول (۶) آورده شده است. شکل (۵) منحنی S/N را نمایش می‌دهد. لازم به توضیح است که دامنه تست در آزمایشات برای نمونه‌های QT و NQT برابر بوده و اختلاف سطح نتایج خستگی در هر تست در شکل (۶) برای تمايز شتاب نمونه‌های QT و NQT می‌باشد.

در شکل (۶) تفاوت طول عمر نمونه‌های QT و NQT در هر چهار سطح تست آزمایش شده قابل ملاحظه می‌باشد. همانطور که ذکر شد اطمینان از این اختلاف نیاز به بررسی آماری دارد. چنانچه اختلاف نتایج در هر یک از تست‌ها را مورد بررسی قرار دهیم



شکل ۵ نمودار S-N نظاعات در دو حالت QT و NQT

جدول ۶ نتایج آزمون خستگی

تعداد نمونه	میانگین طول عمر (سیکل)	تعداد آزمایش	تست اعمالی (MPa)	شرایط عملیات حرارتی
15181	45635	8	583	QT
27881	101399	8	534	QT
48125	137837	4	516	QT
66702	209664	10	508	QT
11184	54018	8	583	NQT
37531	119552	6	534	NQT
68817	194089	6	516	NQT
82885	261885	14	508	NQT

جدول ۷ خلاصه نتایج آزمون دو جامعه

Stress Amplitude	T-test Results
583 MPa	Estimate for difference: 8383.75 95% CI for difference: (-6141.46, 22908.96) T-Test of difference = 0 (vs not =): T-Value = 1.26 P-Value = 0.232 DF = 12
534 MPa	Estimate for difference: 18152.8 95% CI for difference: (-23860.3, 60165.9) T-Test of difference = 0 (vs not =): T-Value = 1.00 P-Value = 0.348 DF = 8
516 MPa	Estimate for difference: 56252.2 95% CI for difference: (-31216.1, 143720.4) T-Test of difference = 0 (vs not =): T-Value = 1.52 P-Value = 0.172 DF = 7
508 MPa	Estimate for difference: -52220.5 95% CI for difference: (-115831.0, 11390.0) T-Test of difference = 0 (vs not =): T-Value = -1.71 P-Value = 0.103 DF = 21

شده به ترتیب زیر به دست می‌آید.

$$\left(R_{\sigma_i} \right)_{NQT} = \left(\frac{N_{583}}{N_{534}} \right)_{NQT}$$

$$N_{\sigma_i} = R_{\sigma_i} \times N_{\sigma_i}$$

به عنوان مثال برای نمونه‌های NQT متوسط عمر در تنش ۵۸۳ مگاباسکال $5E+18$ سیکل و متوسط عمر در تنش ۵۳۴ مگاباسکال 119002 سیکل است. لذا نسبت متوسط عمر در ۵۸۳ مگاباسکال (R534)NQT به متوسط عمر در ۵۳۴ مگاباسکال خواهد بود.

$$(R534)NQT = (5E+18) / (119002) = +/E07$$

نسبت‌های R برای عمر متوسط نمونه‌های تست شده در تنش‌های $534, 516$ و 508 مگاباسکال در شرایط QT و NQT به ترتیب زیر محاسبه شده‌اند.

$$(R_{534})_{NQT} = \left(\frac{N_{583}}{N_{534}} \right)_{NQT} = 0.452$$

$$(R_{534})_{QT} = \left(\frac{N_{583}}{N_{534}} \right)_{QT} = 0.450$$

$$(R_{516})_{NQT} = \left(\frac{N_{583}}{N_{516}} \right)_{NQT} = 0.278$$

بدینهی است برای افزایش توان آزمون اختلاف متوسط عمر دو جامعه QT و NQT باید تعداد آزمایشات پیشتری انجام شود. با دقت در شکل (۵) مشاهده می‌شود متوسط عمر نمونه‌های QT در هر چهار تنش کمتر از متوسط عمر نمونه‌های NQT می‌باشد. لذا با توجه به هزینه‌بر و وقت گیر بودن آزمایشات خستگی، نویسنده‌گان روشی را برای هم‌ارزیازی نتایج عمر خستگی در چهار سطح تنش پیشنهاد نموده‌اند، تا تمامی نتایج در یک آزمون مقایسه می‌انجامیں در جامعه قابل استفاده باشند.

برای هم‌ارز نمونه‌های عمر نمونه‌های خستگی در تنش‌های مختلف، عمر نمونه‌های آزمایش شده در تنش‌های $534, 516$ و 508 مگاباسکال با نسبت متوسط عمر شان به متوسط عمر نمونه‌های آزمایش شده در تنش ۵۸۳ مگاباسکال وزن داده شدند. به عبارت دیگر، عمر نمونه‌ها در تنش ۵۸۳ مگاباسکال مبنای گرفته شده و با تقسیم عمر مبنای بر متوسط عمر نمونه‌ها در تنش‌های $534, 516$ و 508 مگاباسکال نسبت R برای هم‌ارز کردن عمر نمونه‌های آزمایش شده به دست آمده است. عمر هم‌ارز شده از حاصل ضرب نسبت R در عمر هر نمونه به دست می‌آید. بدین ترتیب عمر تمام نمونه‌ها با عمر نمونه‌های آزمایش شده در تنش ۵۸۳ مگاباسکال هم ارز و قابل مقایسه می‌شوند. نسبت R و عمر هم‌ارز

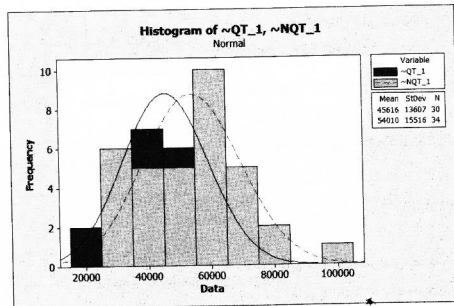
قطعات نرمال نشده QT در تنش ۵۸۳ و برای تنش های ۵۳۴، ۵۱۶، ۵۰۸ مگاپاسکال به ترتیب ۰.۴۱٪ و ۰.۲۵٪ بیشتر تخمین زده می شوند. این نتیجه در حالی به دست آمده است که نتایج بررسی های متالوگرافی ساختی سنگی و خواص کششی اختلاف بسیار ناچیزی را نشان داده اند. این موضوع اهمیت عملیات نرمال کردن را پس از عملیات آهنگری در قطعات صنعتی که در معرض آسیب خستگی می باشند، نشان می دهد. با توجه به بررسی های اولیه و پیشنه موضع [9,10] علت این تفاوت، به فربت بیشتر و پراکنده بیشتر آن در نمونه ها نرمال نشده مربوط می شود. لکن تعیین دقیق علت این تفاوت مستلزم بررسی های بیشتر نویسنده اگری و ریز ساختاری می باشد که توسط نویسنده اگری مقاله در دست بررسی می باشد.

$$(R_{516})_{QT} = \left(\frac{N_{583}}{N_{516}} \right)_{QT} = 0.331$$

$$(R_{508})_{NQT} = \left(\frac{N_{583}}{N_{508}} \right)_{NQT} = 0.218$$

$$(R_{508})_{QT} = \left(\frac{N_{583}}{N_{508}} \right)_{QT} = 0.218$$

پس از همارز کردن داده ها، اندازه نمونه های آماری NQT برابر با ۳۴ و QT برابر با ۳۰ می باشد. نتایج آزمون مقایسه میانگین دو جامعه برای داده های همارز شده که پس از آزمون نرمال انجام شده است، در شکل (۶) دیده می شود. همانطور که نتایج آزمون نشان می دهد، نتایج آزمون خستگی نمونه های NQT و QT مربوط به دو جامعه آماری با اطمینان بیش از ۹۵٪ متفاوت می باشند. با توجه به نتایج آزمایشات خستگی، متوسط عمر قطعات نرمال شده NQT بیش از ۱۸٪ بیشتر از



شکل ۶ نتایج آزمون میانگین دو جامعه برای داده های همارز شده

جدول ۸ نتایج آزمون دو جامعه برای داده های همارز شده

Two-Sample T-Test and CI: QT_normalized, NQT_normalized

	N	Mean	StDev	SE Mean
~QT_1	30	45616	13607	2484
~NQT_1	34	54010	15516	2661

Estimate for difference: -8393.37

95% CI for difference: (-15672.67, -1114.07)

T-Test of difference = 0 (vs not =): T-Value = -2.31 P-Value = 0.025 DF = 61

قطعات آهنگری، کوتچ و تعبیر شده با عملیات نرماله و بدون عملیات نرماله می‌باشد. متوسط عمر قطعات نرمال شده حداقل ۱۸٪ بیشتر از عمر قطعات نرماله تمحبین زده می‌شود.

تشکر و قدردانی

نویسنده‌گان مقاله مراتب قدردانی خود را نسبت به طرح اینترنشیپ، شرکت سایکو و شرکت آهنگری پارسازان که شرایط انجام این تحقیق را فراهم آورند اعلام می‌دارند. نظرات ارزشمند جانب آقای دکتر دوستبرست در خصوص تحلیل آماری موجب تشکیر و تشکر می‌باشد.

خلاصه و نتیجه‌گیری

عمر خستگی قطعات آهنگری، کوتچ و تعبیر شده با عمر خستگی قطعات آهنگری، نرماله، کوتچ و تعبیر شده در چهار دامنه تش متفاوت مقایسه شد. علی‌رغم اختلاف ناچیز سختی و خواص کثی نمونه‌ها در دو حالت عملیات حرارتی، اختلاف عمر خستگی در چهار دامنه تش مشاهده شد. با توجه به پراکنده‌گی ذاتی نتایج آزمون خستگی و ضرورت بررسی آماری، از آزمون مقایسه میانگین دو جامعه استفاده شد. برای حصول اطمینان از اختلاف آماری دو جامعه تعداد بیشتری نمونه مورد تیاز بود که با همازرسازی داده‌های چهار دامنه تش این امر می‌سرد. نتایج آزمون میانگین دو جامعه نشان دهنده اختلاف عمر خستگی

مراجع

1. ASM Metals handbook, *Properties and selection: Irons, steels and high-performance alloys*, ASM International Publication, Vol. 1., (1990).
2. ASM Metals handbook, *Failure analysis and prevention*, ASM International Publication, Vol. 11, (1986).
3. ASM Metals handbook, *Fractography*, ASM International Publication, Vol. 12, (1987).
4. ASM Metals handbook, *Fatigue and Fracture*, ASM International Publication, Vol. 19, (1996).
5. Tamura M., Yamada K., Shimizu M. and Kunio T., "On the relationship between threshold behavior of micro-crack and endurance limit of pearlitic-ferritic steel", *Transactions of the JSME*, Vol. 49, pp. 1378-1387, (1983).
6. Hussain, K., and De Los Rios R. R., "Microstructural effect on tensile and fatigue behavior of C-Mn steel", *J. Mater. Sci.*, Vol. 32, pp. 3565-3569, (1997).
7. Bonnen, J.J.F., and Topper, T. H., "The effect of bending overloads on torsional fatigue in normalized SAE 1045 steel", *Int. J. of Fatigue*, Vol. 21, pp. 23-33, (1999).
8. Tokaji, K., Ogama T., and Osako, S., "The growth of microstructurally small fatigue cracks in a ferritic-pearlitic steel", *Fatigue Fract. Engng. Mater. Struct.*, Vol. 11 No. 5, pp. 331-342, (1988).
9. Zettl, B., Mayer, H., Ede, C. and Stanzi-Tschegg, S., "Very high cycle fatigue of normalized carbon steels", *Int. J. Fatigue*, Vol. 28, pp. 1583-1589, (2006).
10. De Los Rios, E. R., Tang, Z. and Miller, K.J., "Short crack fatigue behavior in a medium carbon steel", *Fatigue Fract. Engng. Mater. Struct.*, Vol. 7 No. 2, pp. 97-108, (1984).
11. S. Suresh, *Fatigue of materials* (2nd ed.), Cambridge University Press, Cambridge, (1998).

12. R. W. Hertzberg; *Deformation and Fracture Mechanics of Engineering Materials* (4th ed.) Wiley, (1989).
13. Box, G. E. P., Hunter, W. G., and Hunter, J. S., *Statistics for Experimenters: An Introduction to Design, Data Analysis, and Model Building*, John Wiley and Sons, (1978).